

Algorithmes bioinformatiques pour la reconstruction d'arbres consensus et de super-arbres multiples

07 Mai 2015

Nadia Tahiri
Université du Québec à Montréal

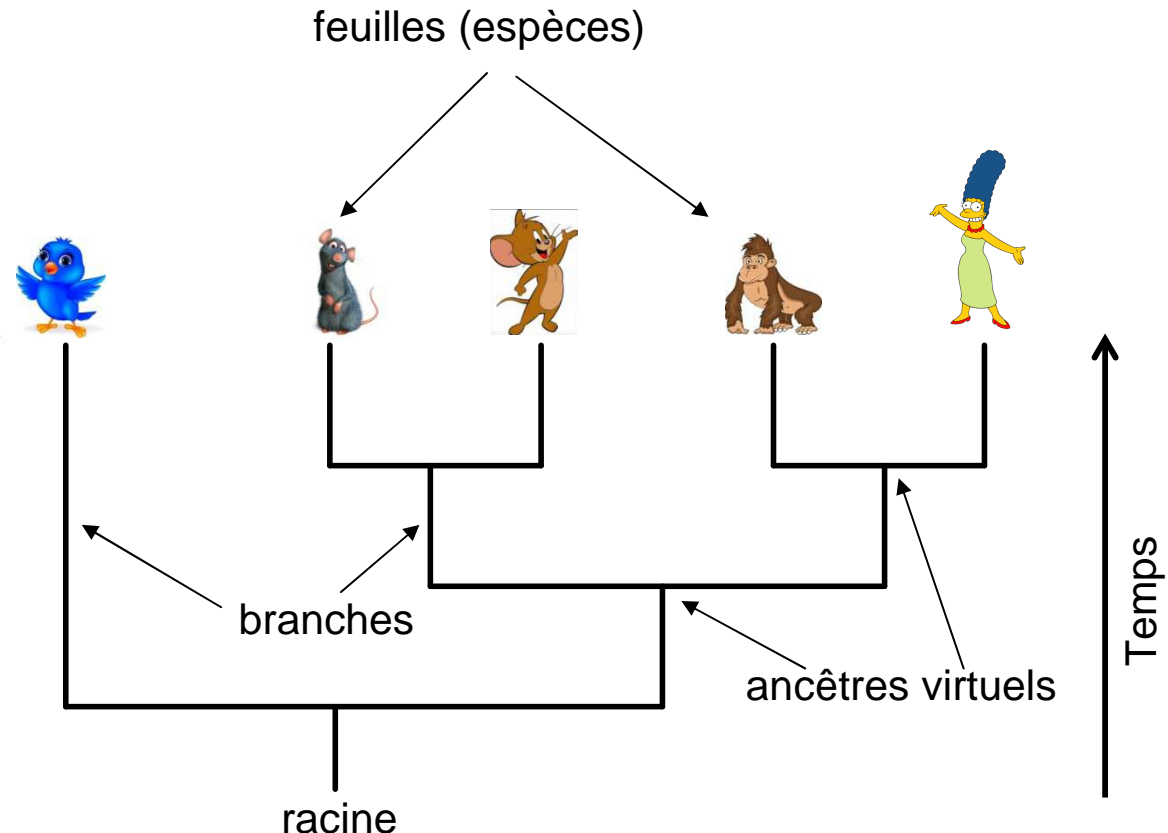
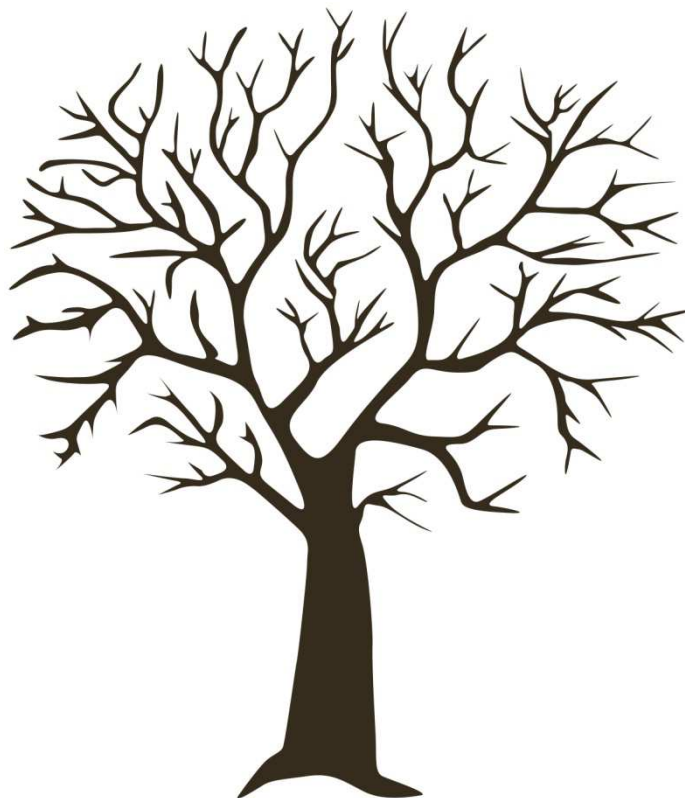


- I. Introduction**
 - 1. Phylogénie**
 - 2. Mesures de comparaison des arbres**
- II. Projet 1 : Classification d'arbres phylogénétiques : Consensus**
 - 1. Problématique**
 - 2. Algorithme**
 - 3. Résultats préliminaires de simulation**
- III. Projet 2 : Classification d'arbres phylogénétiques : Super-arbres**
 - 1. Problématique**
 - 2. Algorithme**
- IV. Projet 3 : Applications**
 - 1. Données biologiques**
 - 2. Données biolinguistiques**

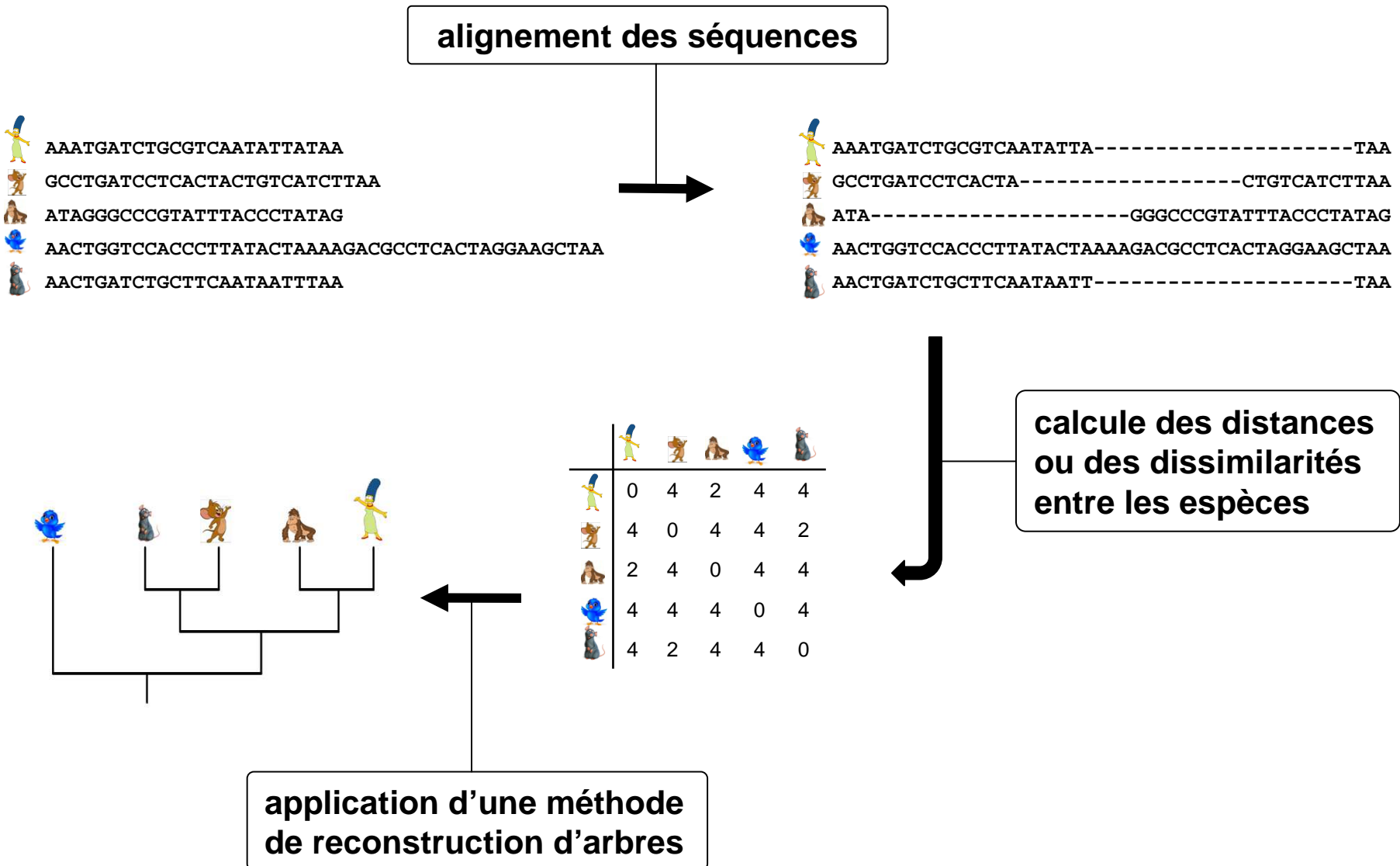
Introduction

LA PHYLOGÉNIE

La phylogénie (ou phylogénèse) étudie la parenté entre différents êtres vivants en vue de comprendre leur évolution.



RECONSTRUCTION D'UN ARBRE PHYLOGÉNÉTIQUE



MESURES DE COMPARAISON DES ARBRES

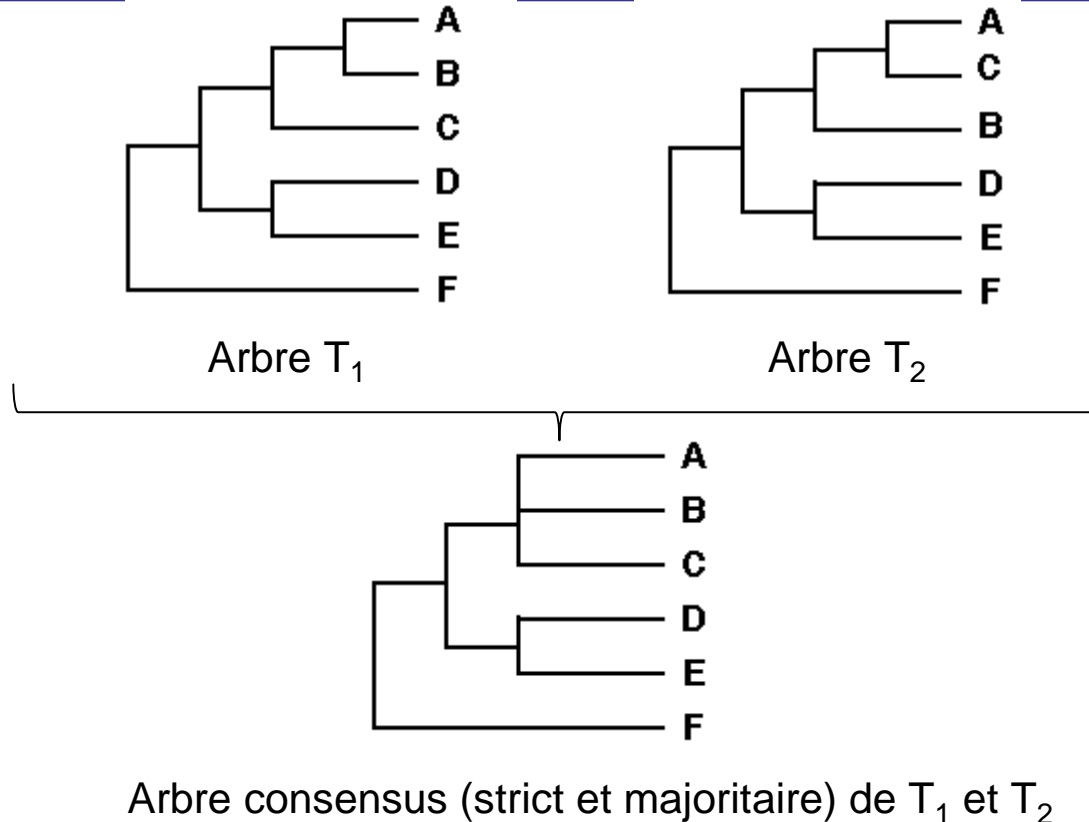
Il existe quatre principales mesures de comparaison d'arbres phylogénétiques:

- La distance des moindres carrés (LS) (Gauss, 1795);
- La dissimilarité de bipartitions (DB) (Boc *et al.*, 2010, Makarenkov *et al.*, 2007);
- La distance de quartets (QD) (Bryant *et al.*, 2000);
- La distance de Robinson et Foulds (RF) (Robinson et Foulds, 1981).

Projet 1 : Classification d'arbres phylogénétiques : Consensus

Nadia Tahiri, Matthieu Willems, Vladimir Makarenkov (2014) Classification d'arbres phylogénétiques basée sur l'algorithme des k -moyennes, article publié dans les actes de la conférence SFC-2014.

ALGORITHMES D'INFÉRENCE D'ARBRES CONSENSUS



Les trois principales méthodes pour l'inférence d'arbres consensus:

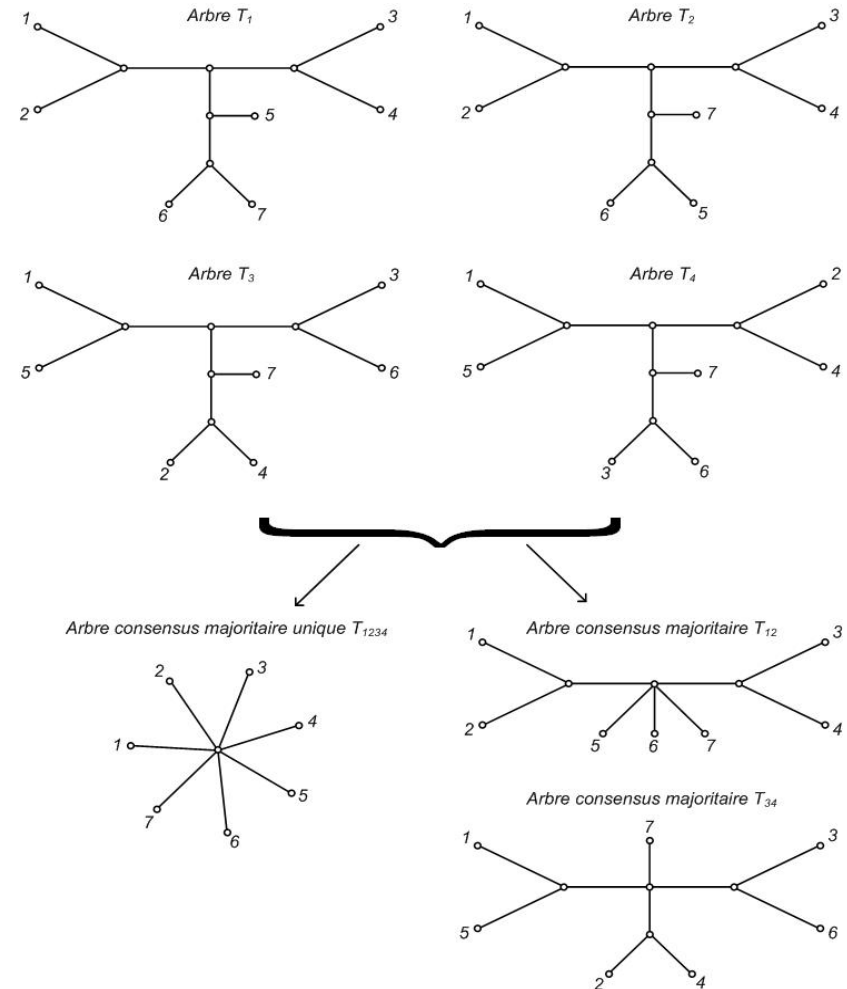
- Arbre consensus strict (Sokal et Rohlf, 1981)
- Arbre consensus majoritaire (Margush et McMorris, 1981)
- Arbre consensus majoritaire étendu (Felsenstein, 1985)

PROBLÉMATIQUE

Idée: La classification d'arbres phylogénétiques basée sur l'algorithme des k -moyennes permet de distinguer les familles de gènes qui ont la même histoire évolutive (e.g. gènes orthologues)

- Nécessité de **fusionner** les arbres phylogénétiques via le projet ToL (Tree of Life)¹ (Maddison *et al.*, 2007)
- **Perte** d'informations
- **Incohérence** de la fusion des arbres phylogénétiques

Nous proposons ici une méthode de partitionnement d'un ensemble de n arbres phylogénétiques qui se base sur l'algorithme des k -moyennes



Quatre arbres phylogénétiques T_1 , T_2 , T_3 et T_4 définis sur un ensemble de 7 feuilles; leur arbre consensus majoritaire classique T_{1234} et la solution à deux arbres-consensus majoritaires T_{12} et T_{34} .

¹ <http://tolweb.org/tree/>

ALGORITHME

Nom : *Consensus-trees*

Méthode : utilisation de l'algorithme des k -moyennes pour partitionner un ensemble d'arbres phylogénétiques

Propriété: *arbre consensus est un arbre médian d'un groupe d'arbres dans le sens de la distance topologique de Robinson et Foulds* (Barthélemy et McMorris, 1986).

Données en entrée :

- n arbres phylogénétiques définis sur le même ensemble d'espèces (i.e., objets, taxa)

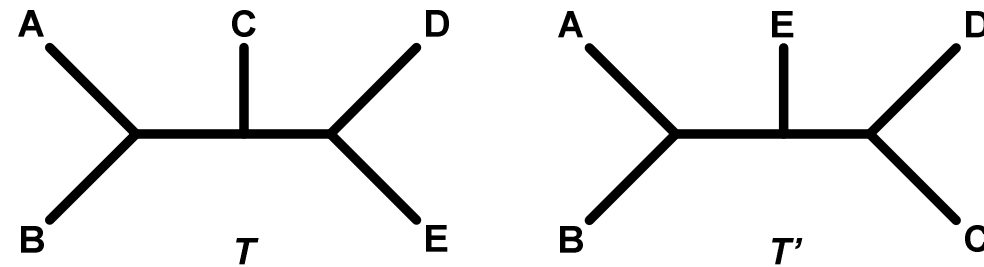
Données en sortie:

- partitionnement optimal de ces arbres en un ou plusieurs groupes;
- pour chaque groupe retrouvé:
 - ✓ la liste des arbres phylogénétiques associés
 - ✓ l'arbre-consensus de ce groupe
 - ✓ Indices utilisés:
 - CH (Calinski-Harabasz, 1974),
 - W (notre nouvelle fonction objective).

ALGORITHME DES *K*-MOYENNES

Description: Permet de déterminer le partitionnement optimal des données (*i.e.*, arbres phylogénétiques dans notre cas) en k groupes selon un critère de similarité (MacQueen, 1968).

Distance choisie: distance de Robinson et Foulds (1981)



La distance topologique de Robinson et Foulds entre deux arbres phylogénétiques est égale au nombre minimal d'opérations élémentaires de fusion et de séparation de noeuds, nécessaires pour transformer un arbre en un autre ($d(T, T') = 2$).

Critères d'évaluation

- 1) Calinski-Harabasz (1974);
- 2) Fonction objective W .

CRITÈRE DE CALINSKI-HARABASZ (1974)

Formule de Calinski-Harabasz

$$CH = \frac{SSB}{SSW} \times \frac{(N-K)}{(K-1)}$$

N – nombre d'arbres phylogénétiques

K – nombre de groupes

SSB – indice d'évaluation intergroupe

SSW – indice d'évaluation intragroupe

L'INDICE SSB ET L'INDICE SSW

SSB – indice d'évaluation intergroupe

$$SSB = \frac{1}{N} \sum_{i=1}^{N-1} \sum_{j=i}^N w_{ij} \times \frac{RF(T_{ik}, T_{jk'})}{(2n_{ijk} - 6)} - SSW$$

RF – Distance de Robinson et Foulds (1981)

$(T_{ik}, T_{jk'})$ – Deux arbres phylogénétiques T_{ik} et $T_{jk'}$ appartenant à des classes différentes

$RF(T_{ik}, T_{jk})$ – Distance RF entre les arbres phylogénétiques T_{ik} et T_{jk}

N_k – Nombre d'arbres phylogénétiques dans le cluster k

K – Nombre de clusters

N – Nombre d'arbres phylogénétiques dans l'ensemble des jeux de données

Limite:

Ne permet pas de comparer la solution en un arbre-consensus unique (cas où $K = 1$) avec la solution admettant les arbres-consensus multiples (cas où $K \geq 2$).

SSW – indice d'évaluation intragroupe

$$SSW = \sum_{k=1}^K \sum_{i=1}^{N_k-1} \sum_{j=i}^{N_k} w_{ij} \times \frac{RF(T_{ik}, T_{jk})}{(2n_{ijk} - 6)}$$

(T_{ik}, T_{jk}) – Deux arbres phylogénétiques T_{ik} et T_{jk} appartenant à la même classe

FONCTION OBJECTIVE W

Fonction objective W

$$W(\Pi) = \frac{1}{(N-K)} \sum_{k=1}^K \frac{2}{N_k \times (N_k - 1)} \sum_{i=1}^{N_k-1} \sum_{j=i+1}^{N_k} w_{ij} \times \frac{RF(T_{ik}, T_{jk})}{(2n_{ijk} - 6)} \rightarrow Min$$

RF – Distance de Robinson et Foulds (1981)

T_{ik} et T_{jk} – Deux arbres phylogénétiques T_{ik} et T_{jk} appartenant à la même classe k

$RF(T_{ik}, T_{jk})$ – Distance RF entre les arbres phylogénétiques T_{ik} et T_{jk}

N_k – Nombre d'arbres phylogénétiques dans la classe k

K – Nombre de classes

N – Nombre total d'arbres phylogénétiques considérés

Limite:

Ne tient pas compte de la distance intergroupe.

Simulations

VALIDATION DE L'APPROCHE ET DES CRITÈRES

Plan des simulations:

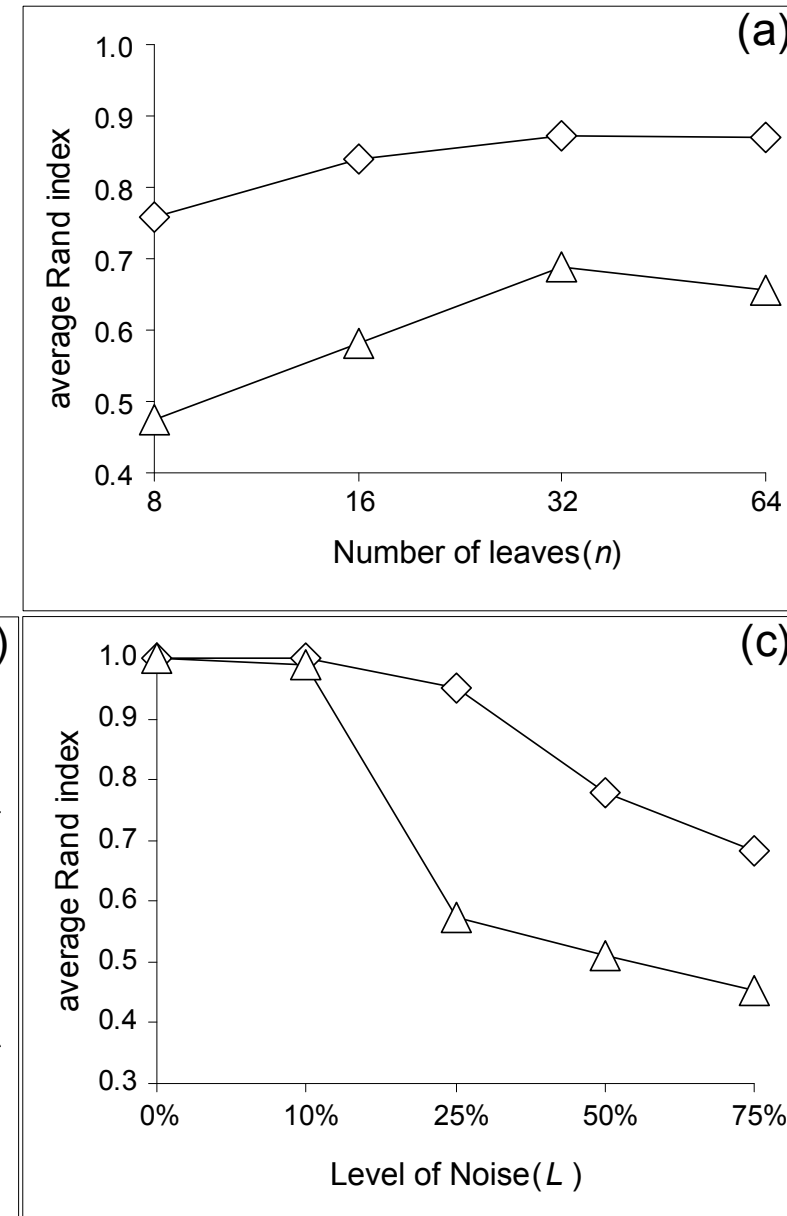
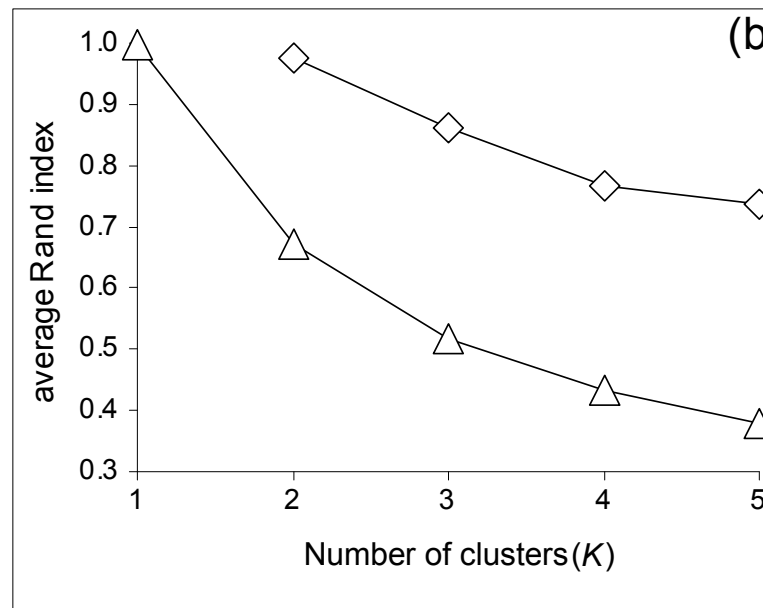
- **Étape 1:** Générer k arbres phylogénétiques binaires aléatoires $\{T_1 \dots T_k\}$ avec n feuilles chacun, en utilisant le site T-Rex¹ (Boc *et al.*, 2012), où $k = \{1 \dots 10\}$ et $n = \{8, 16, 32, 64\}$.
- **Étape 2:** Pour chaque arbre phylogénétique T_i (où $i = 1 \dots k$), générer l'ensemble de 100 arbres appartenant à la classe i pour chacun des intervalles indiqués ci-dessous. Pour ce faire: nous allons générer des arbres phylogénétiques aléatoires tels que le pourcentage de similitude (mesuré à l'aide de la distance RF) entre eux et T_i soit:
 - de 0 à 10% (Intervalle I),
 - de 10 à 25% (Intervalle II),
 - de 25 à 50% (Intervalle III),
 - de 50 à 75% (Intervalle IV).
- **Étape 3:** Exécuter l'algorithme *Consensus-trees* sur les ensembles d'arbres générés avec les différents paramètres (k , n , Intervalle, Fonction Objective W et le critère CH).

¹<http://trex.uqam.ca/index.php?action=randomtreegenerator&project=trex>

VALIDATION DE L'APPROCHE ET DES CRITÈRES

Étude préliminaire de l'évolution de l'indice Rand moyen:

- (a) en fonction du nombre de feuilles (n);
- (b) en fonction du nombre de partitions (k);
- (c) en fonction du pourcentage de similitudes (L) entre les arbres phylogénétiques (Intervalle) pour les deux critères:
 - ◊ Calinski-Harabasz; △ W .



Projet 2 : Classification d'arbres phylogénétiques : Super-arbres

ALGORITHMES D'INFÉRENCE D'UN SUPER-ARBRE

Les méthodes des super-arbres réconcilient des arbres phylogénétiques définis sur des ensembles de taxons différents, mais partiellement chevauchants.

Principales méthodes d'inférence de super-arbres:

- Dans le passé (Gordon, 1986)

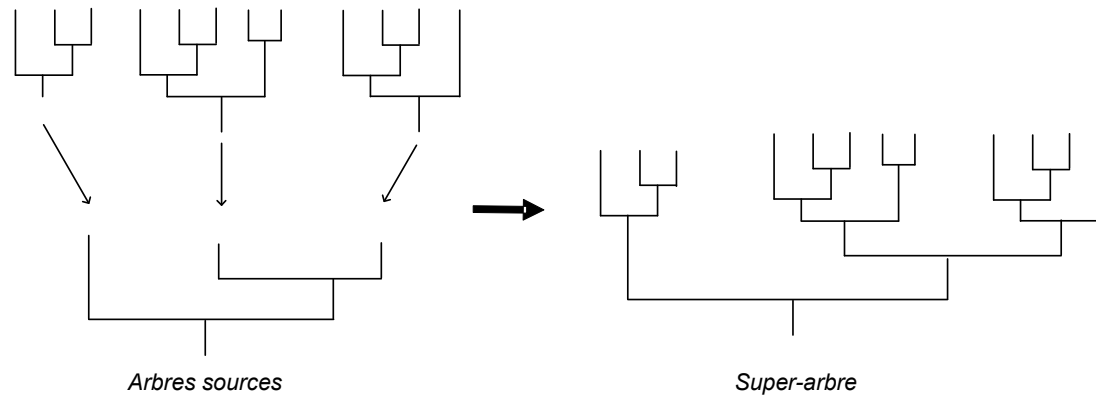


Illustration d'une reconstruction dans le passé (Bininda-Edmonds, 2004).

ALGORITHMES D'INFÉRENCE D'UN SUPER-ARBRE

Les méthodes des super-arbres réconcilient des arbres phylogénétiques définis sur des ensembles de taxons différents, mais partiellement chevauchants.

Principales méthodes d'inférence de super-arbres:

- Dans le présent : MPR (Ragan, 1992; Doyle, 1992; Baum, 1992)

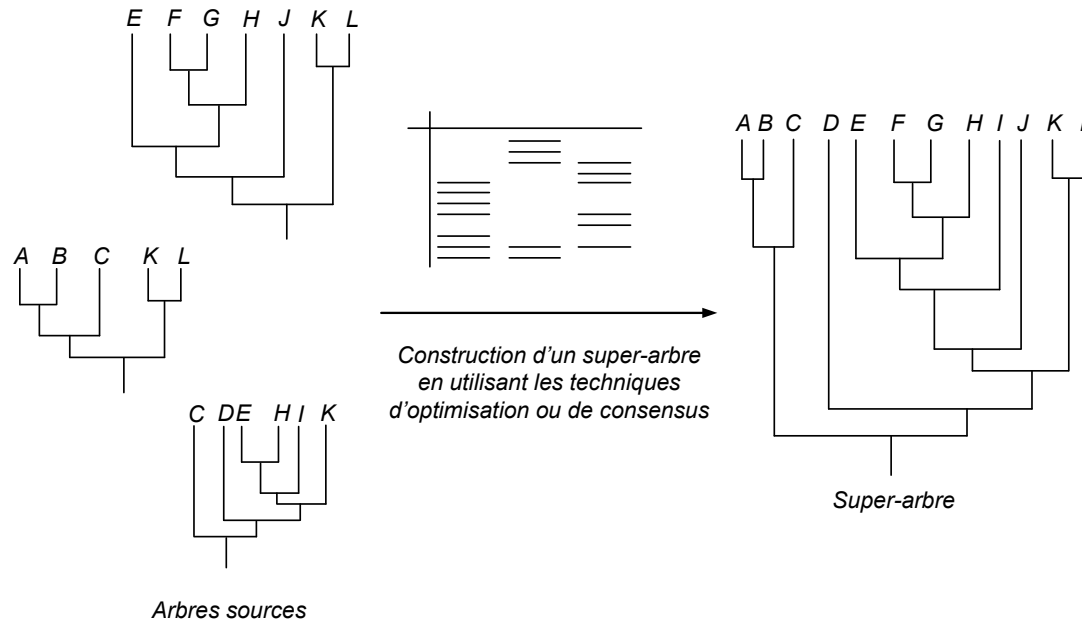


Illustration d'une reconstruction dans le présent (Bininda-Edmonds, 2004).

PROBLÉMATIQUE

Idée: Généraliser la classification d'arbres phylogénétiques ayant le même ensemble de taxons.

Motivation: Contribuer au projet ToF¹ (Maddison *et al.*, 2007)

- Nécessité de **fusionner** les arbres phylogénétiques via le projet ToL (Tree of Life);
- **Perte** d'informations et mauvais recouplement des feuilles;
- **Incohérence** de la fusion des arbres phylogénétiques.

Nous proposons ici une méthode de partitionnement d'un ensemble de n arbres phylogénétiques ayant des ensembles de feuilles différents, qui se base sur l'algorithme des k -moyennes.

¹ <http://tolweb.org/tree/>

ALGORITHME

Nom : *Super-trees*

Méthode : utilisation de l'algorithme des k -moyennes pour classifier les arbres phylogénétiques

Données en entrée :

- n arbres phylogénétiques définis sur des ensembles différents d'espèces (i.e., objets, taxa), mais chevauchants

Particularité: Il faudra filtrer les ensembles d'espèces

Difficulté: Définir un seuil minimum de feuilles chevauchantes entre les arbres phylogénétiques

Données en sortie:

- partitionnement optimal de ces arbres en un ou plusieurs groupes;
- pour chaque groupe retrouvé:
 - ✓ la liste des arbres phylogénétiques associés;
 - ✓ l'arbre-consensus de ce groupe
 - ✓ Indices utilisés: W et W'

FONCTIONS OBJECTIVES W' ET W''

$$W'(\Pi) = \left(\frac{1}{(N-K)} \times \sum_{k=1}^K \left(\left(\frac{2}{N_k \times (N_k - 1)} \right) \times \sum_{i=1}^{N_k} RF(C_k^{MR}, T_{ik}) \right) \right) \rightarrow \min$$

K – nombre de groupes

N_k – nombre d'arbres phylogénétiques dans le groupe k

C_k^{MR} – super-arbre majoritaire (i.e., l'arbre centroïde) du groupe k obtenu par la règle majoritaire (MR)

$RF(C_k^{MR}, T_{ik})$ – distance RF entre C_k^{MR} et T_{ik}

$$W''(\Pi) = \left(\frac{1}{(N-K)} \times \sum_{k=1}^K \left(\left(\frac{2}{N_k \times (N_k - 1)} \right) \times \sum_{i=1}^{N_k-1} \sum_{j=i+1}^{N_k} \frac{RF^2(T'_{ik}, T'_{jk})}{(2n_{ijk} - 6)} \right) \right) \rightarrow Min$$

T'_{ik} et T'_{jk} - arbres phylogénétiques i et j du groupe k réduits aux feuilles communes

$RF(T'_{ik}, T'_{jk})$ – distance RF entre T'_{ik} et T'_{jk}

n_{ijk} – nombre de feuilles communes aux arbres T'_{ik} et T'_{jk} .

VALIDATION DE L'APPROCHE ET DES CRITÈRES

Plan des simulations:

- **Étape 1:** Générer k arbres phylogénétiques binaires aléatoires $\{T_1 \dots T_k\}$, ayant de n_1 à n_2 feuilles chacun (et au moins n feuilles communes), en utilisant le site T-Rex¹ (Boc *et al.*, 2012), où $k = \{1 \dots 10\}$ et $n = \{8, 16, 32, 64\}$.
- **Étape 2:** Pour chaque arbre phylogénétique T_i (où $i = 1 \dots k$), générer l'ensemble de 100 arbres appartenant à la classe i pour chacun des intervalles indiqués ci-dessous. Pour ce faire: nous allons générer des arbres phylogénétiques aléatoires tels que le pourcentage de similitude (mesuré à l'aide de la distance RF) entre eux et T_i soit:
 - de 0 à 10% (Intervalle I),
 - de 10 à 25% (Intervalle II),
 - de 25 à 50% (Intervalle III),
 - de 50 à 75% (Intervalle IV).
- **Étape 3:** Exécuter l'algorithme *Super-trees* sur les ensembles d'arbres générés avec les différents paramètres (k, n, n_1, n_2 , Intervalle, Fonc. Obj. = *W'*, *CH*, *BH*, *LogSS* et *Silhouette*).

¹<http://trex.uqam.ca/index.php?action=randomtreegenerator&project=trex>

Projet 3 : Applications

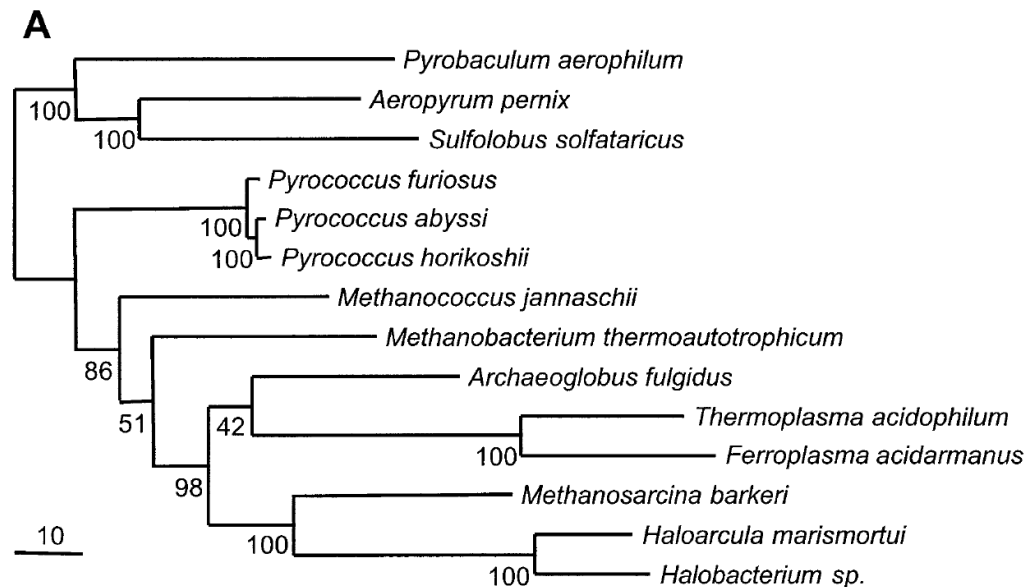
CLASSIFICATION DES PROTÉINES RIBOSOMALES DES ARCHAEBACTÉRIES (MATTE-TAILLIEZ ET AL., 2002)

Données:

- Soit 49 protéines ribosomales de 14 archéobactéries (étudiées initialement par Matte-Tailliez et al., 2002).

Motivations:

- Trouver les protéines des 14 archéobactéries partageant la même histoire évolutive.
- Déetecter les gènes qui ont subi les mêmes transferts horizontaux (HGT).



L'arbre d'espèces pour 14 archéobactéries
(Matte-Tailliez et al., Mol. Biol. Evol., 2002).

RÉSULTATS PRÉLIMINAIRES DES ARCHAEBACTÉRIES (MATTE-TAILLIEZ *ET AL.*, 2002)

Algorithme : ***Consensus-trees***

Matrice des distances RF normalisées:

Résultats:

K	Score W	Score CH
1	0.006339	-
2	0.012502	52.832736
3	0.015264	29.699751
4	0.02287	18.689989
5	0.023623	16.376206
6	0.027507	13.608494
7	0.02834	12.573911
8	0.025445	13.896887
9	0.045315	7.588349
10	0.043689	7.584642

Meilleur K :

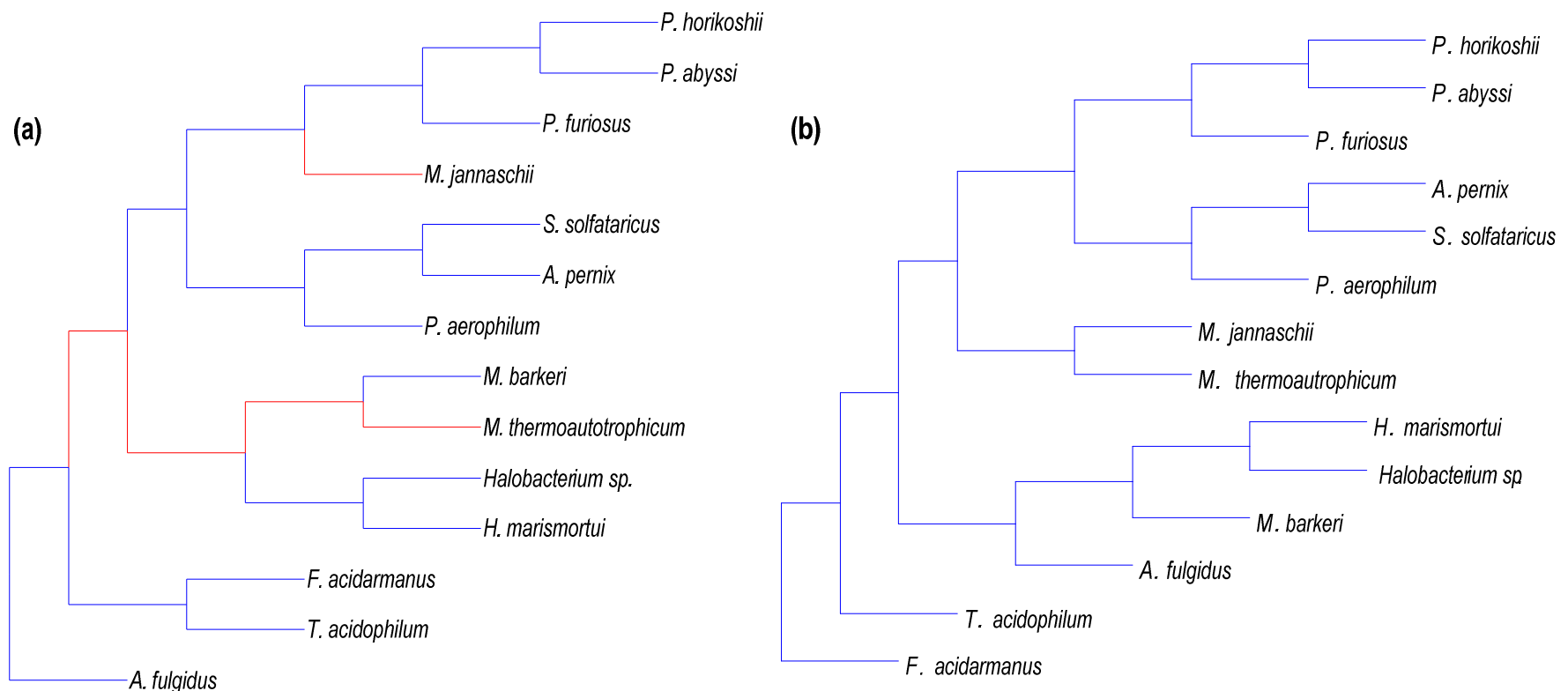
- $K = 1$; pour W
- $K = 2$; pour CH

Límites:

- ✓ Score W : le minimum local
 - ✓ Score CH : le maximum local et pas de possibilité d'une solution unique

RÉSULTATS PRÉLIMINAIRES POUR LES ARCHAEBACTÉRIES (MATTE-TAILLIEZ ET AL., 2002)

Arbres consensus selon le critère CH

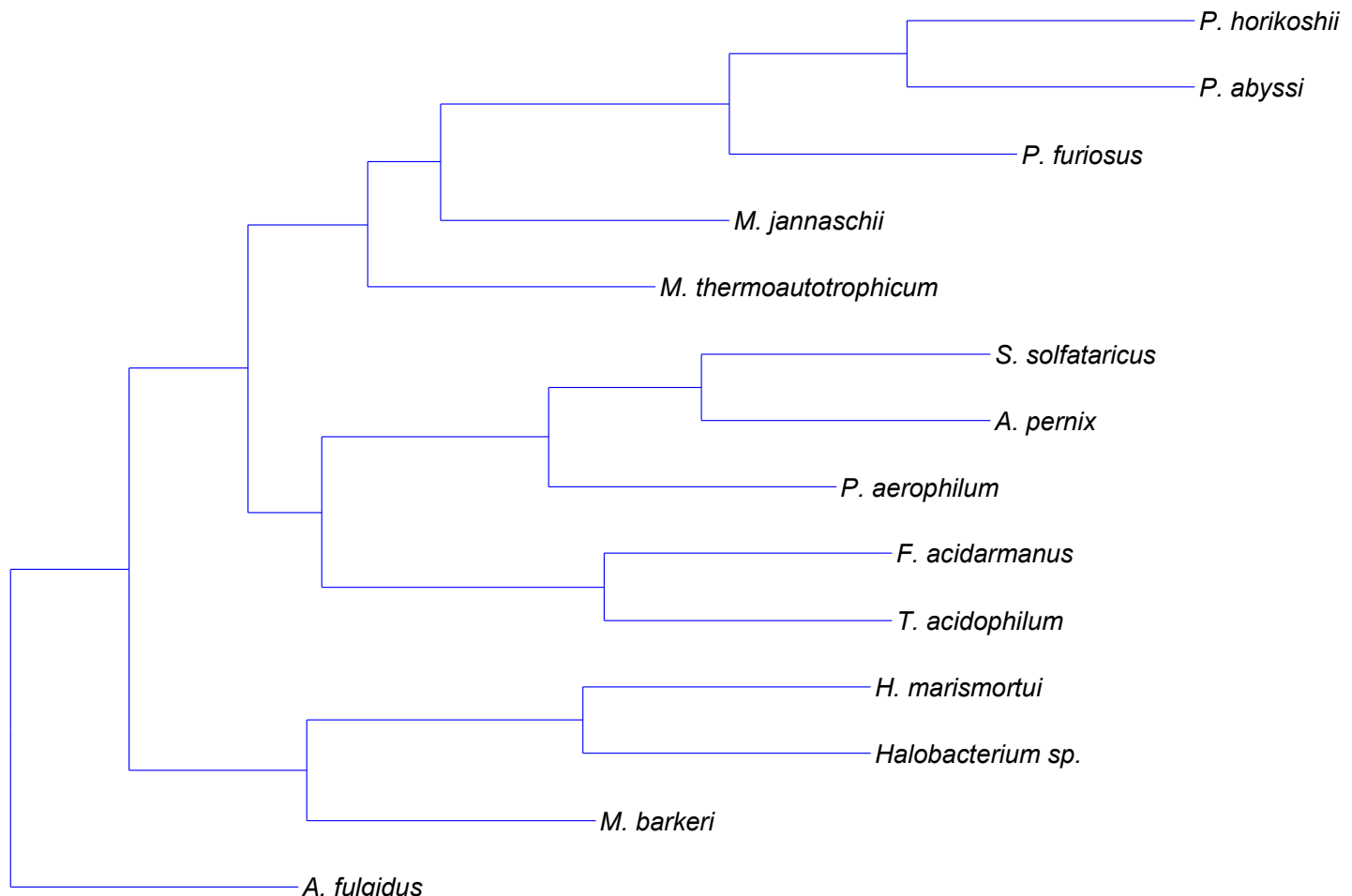


Arbre consensus 1

Arbre consensus 2

RÉSULTATS PRÉLIMINAIRES POUR LES ARCHAEBACTÉRIES (MATTE-TAILLIEZ ET AL., 2002)

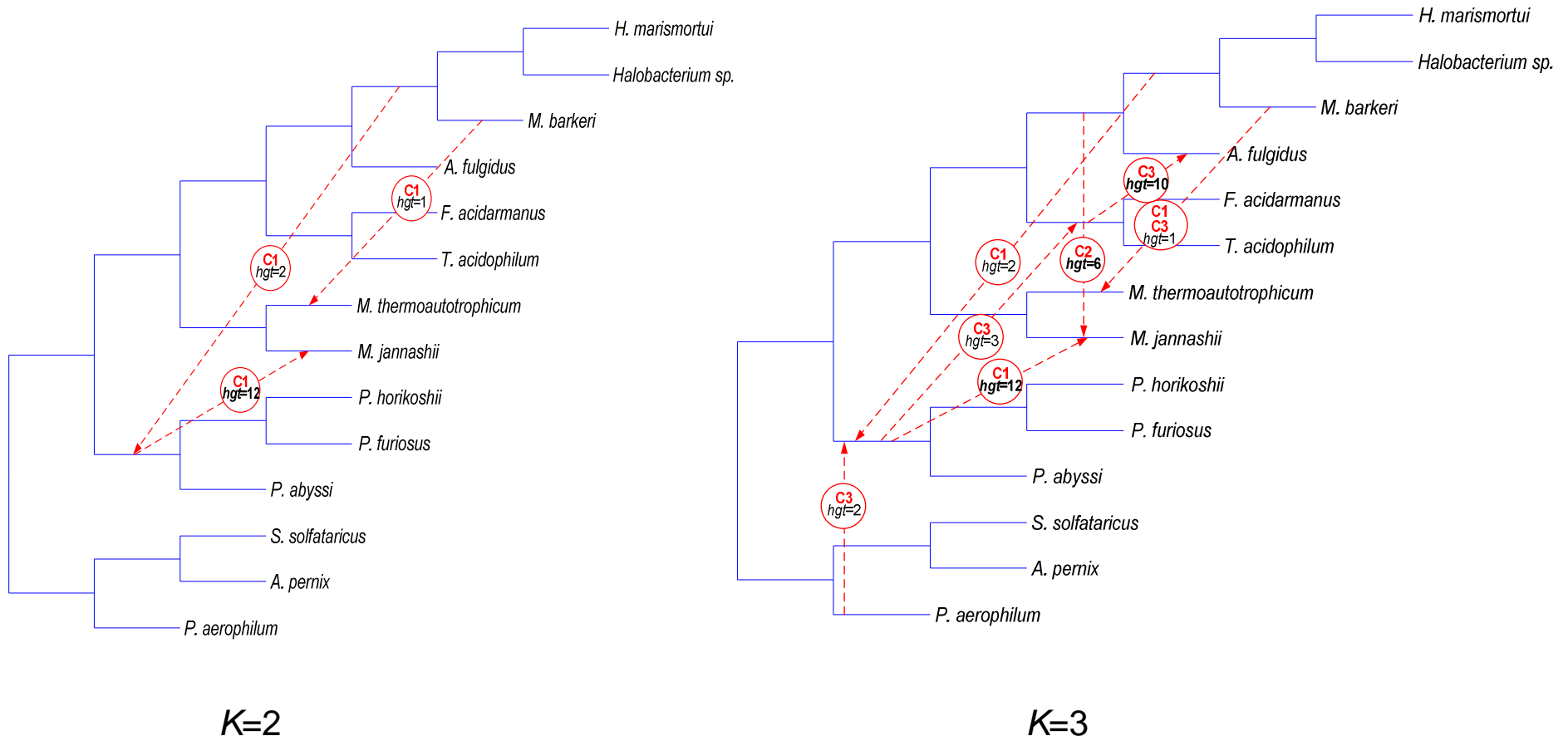
Arbre consensus selon la fonction objective W



Arbre consensus unique

RÉSULTATS PRÉLIMINAIRES POUR LES ARCHAEBACTÉRIES (MATTE-TAILLIEZ ET AL., 2002)

Un scénario de transferts horizontaux de gènes (HGT) pour différents K :



$K=2$

$K=3$

AUTRES DONNÉES BIOLOGIQUES À ÉTUDIER

Groupe biologique étudié	Nombre d'espèces	Nombre d'arbres phylogénétiques
Papilionidés (Gepts <i>et al.</i> , 2005)	558	19
Marsupiaux (Cardillo <i>et al.</i> , 2004)	267	158
Mammifères placentaires (Beck <i>et al.</i> , 2006)	116	726
Oiseaux de mer (Kennedy et Page, 2002)	122	7

ÉVOLUTION DES LANGUES INDO-EUROPÉENNES (IE)

La base de données:

- Organisée par Dyen *et al.* (1997) et améliorée par Boc *et al.* (2010).
- Regroupée en 200 mots de la liste Swadesh, traduite dans 87 langues et structurée en 1315 cognats.



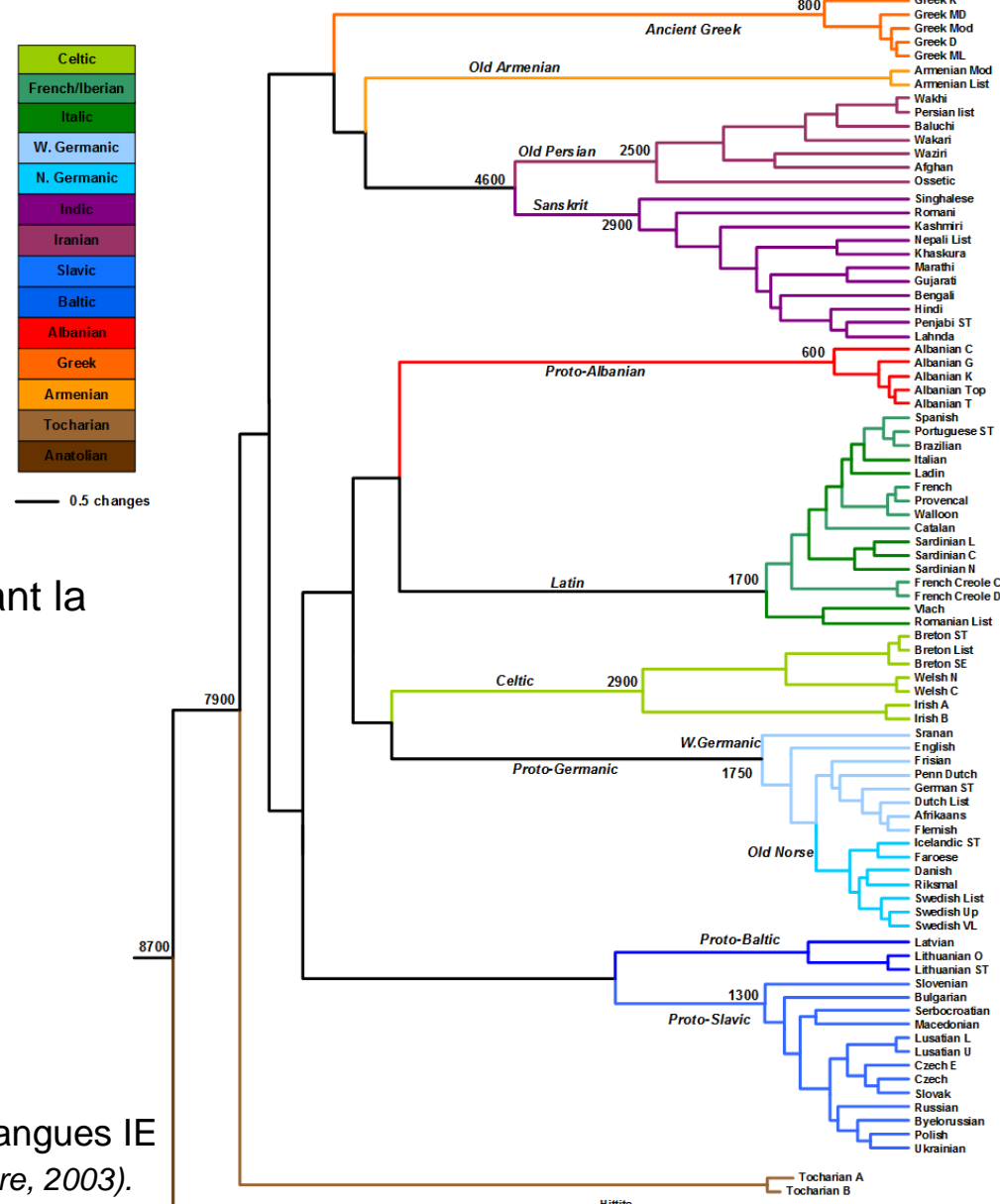
— 0.5 changes

Motivations:

- Trouver des groupes de langues partageant la même histoire évolutive.
- Mettre en avant l'origine des langues IE
 - ❖ Hypothèse Kourgane
 - ❖ Hypothèse Anatolienne
 - ❖ ou une nouvelle hypothèse

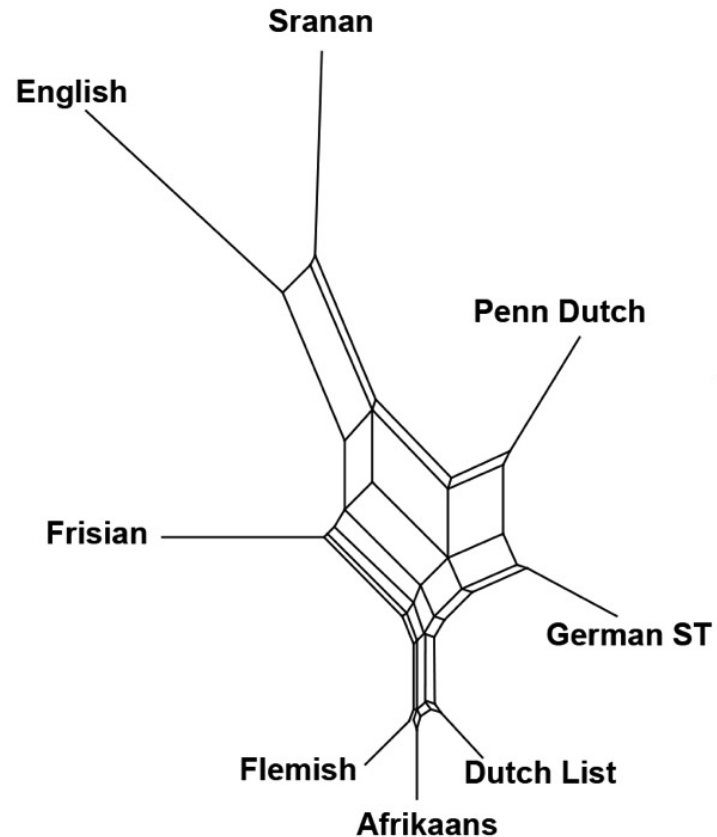


L'arbre d'évolution des langues IE
(Gray et Atkinson, *Nature*, 2003).

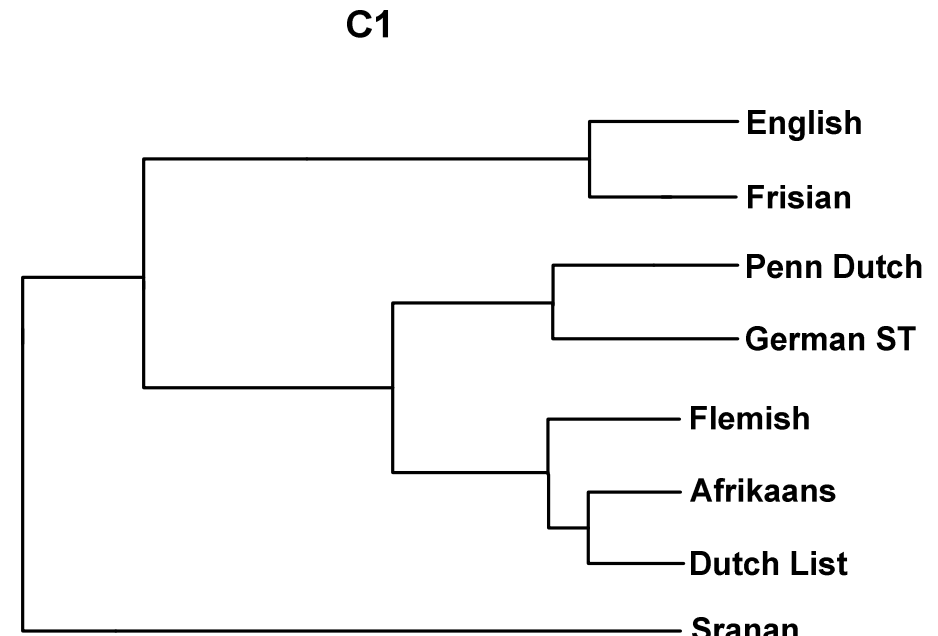


<http://scienctonnante.wordpress.com/2012/09/24/quelle-est-lorigine-des-langues-indo-europeennes/>.

RÉSULTATS PRÉLIMINAIRES POUR LES LANGUES IE



Split-graphe pour huit langues ouest-germaniques
(Willems *et al.*)



Super-arbre C1 par le critère CH

RÉFÉRENCES

- Makarenkov, V. (2001) T-Rex: reconstructing and visualizing phylogenetic trees and reticulation networks. *Bioinformatics*, 17, 664-668.
- Makarenkov, V. et Legendre. P. (2001) Optimal variable weighting for ultrametric and additive trees and K-means partitioning: Methods and software. *Journal of Classification* 18(2) : 245-271.
- Margush, T. et McMorris, F. R. (1981). Consensusn-trees. *Bulletin of Mathematical Biology*, 43(2), 239-244.
- Matte-Tailliez, O., Brochier,C., Forterre, P. et Philippe,H. (2002) Archaeal phylogeny based on ribosomal proteins. *Mol. Biol. Evol.*, 19, 631-639.
- Kennedy, M. et Page, R. D. (2002). Seabird supertrees: combining partial estimates of procellariiform phylogeny. *The Auk*, 119(1), 88-108.
- Ragan, M. A. (1992). Matrix representation in reconstructing phylogenetic relationships among the eukaryotes. *Biosystems*, 28(1), 47-55.
- Robinson, D.R. et Foulds, L.R. (1981) Comparison of phylogenetic trees. *Mathematical Biosciences*, 53, 131-147.
- Sokal, R. R. et Rohlf, F. J. (1981). Biometry: the principles and practice of statistics. *Biological research*. WH Freeman Inc, San Francisco, 849.
- Stamatakis, A., Hoover, P. et Rougemont, J. (2008). A rapid bootstrap algorithm for the RAxML web servers. *Systematic biology*, 57(5), 758-771.
- Tahiri, N., Willems, M., Makarenkov, V. (2014) Classification d'arbres phylogénétiques basée sur l'algorithme des k-moyennes, Actes de SFC-2014.

Merci de votre attention !!!

REMERCIEMENTS

Mon directeur de thèse : Vladimir Makarenkov

Recherche étudiants-es pour :

- Maîtrise
- Doctorat
- Postdoc

Les fonds FQRNT pour le financement de ce projet.

